### Leveraging LLMs for Semantic Conflict Detection via Unit Test Generation

Nathalia Barbosa Centro de Informática Universidade Federal de Pernambuco Brasil nfab@cin.ufpe.br Paulo Borba Centro de Informática Universidade Federal de Pernambuco Brasil phmb@cin.ufpe.br Léuson Da Silva Polytechnique Montreal Canadá leuson-mario-pedro.dasilva@polymtl.ca

#### Resumo

Conflitos semânticos ocorrem quando um desenvolvedor introduz mudanças em uma base de código que afetam, de maneira não intencional, o comportamento de mudanças integradas em paralelo por outros desenvolvedores. Como as ferramentas de merge usadas na prática não conseguem detectar esse tipo de conflito, foram propostas ferramentas complementares, como SMAT, que é baseada na geração e execução de testes de unidade — se um teste falha na versão base do código, passa na versão modificada por um desenvolvedor, mas falha novamente na versão resultante do merge dessa com a de outro desenvolvedor, sinaliza-se um conflito semântico. Apesar de apresentar boa capacidade de detecção de conflitos, SMAT apresenta alta taxa de falsos negativos (conflitos existentes mas não sinalizados pela mesma). Parte desse problema, deve-se às limitações naturais de ferramentas de geração de testes de unidade, no caso, Randoop e Evosuite. Para entender se essas limitações podem ser superadas por modelos de linguagem de grande porte (LLMs), este trabalho propõe, e integra ao SMAT, uma nova ferramenta de geração de testes baseada no Code Llama 70B. Exploramos então a capacidade desse modelo de gerar testes, com diferentes estratégias de interação, prompts com diferentes conteúdos, e diferentes configurações de parâmetros do modelo. Avaliamos os resultados com duas amostras distintas, um benchmark com sistemas mais simples, usados em trabalhos relacionados, e uma amostra mais significativa baseada em sistemas complexos e utilizados na prática. Por fim, avaliamos a eficácia da nova extensão do SMAT na detecção de conflitos. Os resultados indicam que, embora a geração de testes por LLM em cenários complexos ainda represente um desafio e seja computacionalmente custosa, há potencial promissor na identificação de conflitos semânticos.

#### **Keywords**

Conflitos semânticos de código, Geração de testes de unidade, LLMs.

#### 1 Introdução

Durante o desenvolvimento colaborativo de software, é comum que múltiplos desenvolvedores trabalhem simultaneamente em diferentes partes do código. Nesses cenários, conflitos podem surgir durante a integração (*merge*) das alterações [18], especialmente quando dois desenvolvedores modificam o mesmo arquivo ou linha de código de forma concorrente [6]. Esses são os chamados conflitos textuais, que exigem intervenção manual para serem resolvidos.

Embora eficazes em detectar conflitos textuais, as ferramentas de integração atuais não identificam todos os tipos de conflitos. Uma categoria mais sutil, os conflitos semânticos, ocorre quando alterações paralelas afetam o comportamento do sistema de forma

não intencional, resultando em falhas de testes ou erros em tempo de execução, mesmo que o código seja mesclado e compilado com sucesso. Esses conflitos, também chamados de *conflitos semânticos comportamentais* [3], diferem de conflitos de *build* [2, 3, 12], que incluem erros de compilação ou conflitos sintáticos e semânticos estáticos. Por sua natureza, conflitos semânticos comportamentais podem permanecer ocultos por várias versões, tornando sua detecção e resolução um desafio.

Para detectar conflitos semânticos, ferramentas complementares foram propostas, como o SMAT [14], que utiliza geração automatizada de testes de unidade para identificar mudanças de comportamento introduzidas durante o *merge*. O SMAT aplica heurísticas sobre os resultados dos testes para sinalizar possíveis conflitos: por exemplo, se um teste falha na versão comum (base), passa em uma das versões modificadas, mas volta a falhar após o *merge*, isso indica um possível conflito semântico. No entanto, apesar de sua eficácia, o SMAT apresenta limitações, especialmente uma alta taxa de falsos negativos, ou seja, conflitos existentes que não são detectados [3]. Essas limitações estão ligadas à capacidade das ferramentas de geração de testes utilizadas, como Randoop [10] e EvoSuite [5], que frequentemente não cobrem todos os cenários relevantes.

Diante dos avanços recentes em modelos de linguagem de grande porte (LLMs), surge a hipótese de que essas limitações podem ser superadas. Modelos como o Code Llama 70B [7] têm mostrado grande potencial na geração de código e testes automatizados, superando ferramentas tradicionais em cobertura e utilidade dos testes [11, 13, 19]. Este trabalho propõe e integra ao SMAT uma nova ferramenta de geração de testes baseada no Code Llama 70B, explorando diferentes estratégias de *prompt engineering* e configurações do modelo para detectar conflitos semânticos.

Para avaliar o potencial do Code Llama, realizamos um estudo empírico com um dataset contendo cenários de conflitos semânticos. O estudo avalia o impacto de diferentes estratégias de prompt (zero-shot e 1-shot), variações de temperatura, seed e combinações de contexto fornecido ao modelo. Os resultados mostram que a configuração zero-shot com temperatura 0.0 apresentou o melhor desempenho no dataset avaliado, identificando o maior número de conflitos em uma única execução, incluindo um conflito inédito não detectado em trabalhos prévios [3, 14]. Além disso, para avaliar o impacto da complexidade dos datasets na geração e compilação dos testes, um segundo dataset, além do primeiro, foi selecionado do trabalho de Pan et al. [11]. Constatou-se que a taxa de compilação dos testes gerados varia significativamente entre os datasets, mostrando como a complexidade do código afeta a eficácia da geração de testes por LLMs.

Assim, as principais contribuições deste trabalho são:

- Análise do efeito de diferentes prompts, variações de configuração e contextos fornecidos a um modelo de linguagem para geração de casos de teste visando detectar conflitos semânticos.
- Evidência de que LLMs podem gerar testes capazes de detectar conflitos semânticos em cenários de merge, contribuindo para ampliar o potencial do SMAT em detectar conflitos.
- Integração estrutural de um modelo de linguagem à arquitetura do SMAT, facilitando a adição de outros modelos.

O restante deste artigo está organizado da seguinte forma: a Seção 2 apresenta a motivação do trabalho e revisa o funcionamento do SMAT. A Seção 3 detalha a metodologia adotada, incluindo a integração do Code Llama 70B ao SMAT e os procedimentos experimentais. Na Seção 4, avaliamos o desempenho do modelo em comparação com outras ferramentas e discutimos os resultados. A Seção 5 discute as ameaças à validade do estudo, abordando possíveis limitações e vieses. A Seção 6 aborda os trabalhos relacionados e, por fim, a Seção 7 apresenta as conclusões e direções futuras.

#### 2 Motivação

Conflitos semânticos geralmente passam despercebidos por ferramentas tradicionais de controle de versão, que focam apenas em diferenças textuais e ignoram interações comportamentais entre as mudanças integradas. Considere o seguinte cenário: Nivan e Renato trabalham no mesmo método de uma classe, mas com contribuições diferentes, como ilustrado na Listagem 1.

```
cleanText() {
  normalizeWhiteSpace();
  removeComments();
  removeDuplicateWords();
}
```

Listagem 1: Método alterado pelos desenvolvedores

Nivan adiciona uma função que normaliza espaços em branco na entrada textual, normalizeWhiteSpace(), que substitui sequências de espaços por um único espaço. Por sua vez, Renato implementa uma função que remove palavras duplicadas consecutivas, removeDuplicateWords(). Ambos testam suas funções individualmente e elas funcionam, mas ao combiná-las, a ordem de execução afeta o resultado, levando a um conflito semântico. Por exemplo, dada a entrada HELLO\_\_HELLO\_\_WORLD, ao aplicar removeDuplicateWords() obtemos HELLO\_\_\_\_WORLD, pois uma das ocorrências de HELLO é removida, mas os quatro espaços permanecem. Se aplicarmos apenas normalizeWhiteSpace(), o resultado é HELLO\_HELLO\_WORLD, com duas ocorrências de HELLO e apenas um espaço entre as palavras. Quando ambas são aplicadas em sequência, o efeito combinado revela um comportamento inesperado: HELLO\_\_WORLD, ou seja, uma das ocorrências de HELLO é removida, mas os espaços entre as palavras permanecem, e eles só passam a constituir uma duplicação após a chamada do último método. Esse é um exemplo clássico de conflito semântico, em que a ordem de aplicação das funções afeta o resultado final e o comportamento emergente não é trivialmente previsível.

A interação entre essas mudanças só revela seu efeito colateral quando um teste é executado com uma entrada específica (contendo tanto palavras quanto espaços duplicados). Esse tipo de problema é difícil de identificar com inspeção manual, reforçando a necessidade de abordagens automatizadas baseadas em testes para detectar tais conflitos.

#### 2.1 **SMAT**

Para resolver o problema ilustrado, foi proposto o SMAT [3, 14], que consegue detectar conflitos semânticos, mas pode ser aprimorado por meio da integração com modelos de linguagem avançados como o Code Llama 70B [7].

Como a identificação manual de conflitos semânticos é uma tarefa complexa, o SMAT foi desenvolvido para identificá-los utilizando a geração automatizada de testes de unidade em cenários de merge. A ferramenta recebe como entrada um conjunto de cenários de merge, em que cada cenário é composto por informações como: nome do projeto, quádruplas de commits (Base, Left, Right e Merge), caminhos dos arquivos de build, classes-alvo e elementos alterados simultaneamente por Left e Right.

A arquitetura do SMAT é composta pelos módulos *Test Generation, Test Execution, Test Dynamic Analysis* e *Output Generation.* O funcionamento desses módulos se resume em três etapas principais:

- Geração de testes: O objetivo desta etapa é gerar as suítes de testes. Para isso, as ferramentas EvoSuite, Differential EvoSuite, Randoop e Randoop Clean são empregadas para criar automaticamente testes para as versões Left e Right do código, cada uma contendo modificações em uma mesma classe e elemento. A arquitetura do SMAT é extensível, permitindo a inclusão de novas ferramentas de geração de testes conforme necessário.
- Compilação e execução: Esta etapa visa verificar o comportamento das versões do código frente aos testes gerados, buscando identificar diferenças de execução. Assim, as suítes de testes criadas são compiladas e executadas em todas as quatro versões do código (Base, Left, Right e Merge), sendo o processo repetido múltiplas vezes para garantir maior confiabilidade dos resultados. Resultados considerados inválidos são descartados para evitar análises equivocadas.
- Relatórios e heurísticas: Por fim, esta etapa tem como propósito interpretar os resultados dos testes para detectar possíveis conflitos semânticos entre as versões. Para isso, heurísticas específicas são aplicadas sobre os resultados obtidos, identificando padrões que caracterizam conflitos. Por exemplo, considera-se um conflito quando um teste falha em Base e Merge, mas passa em Left ou Right (ou vice-versa); ou ainda, quando apenas Merge apresenta falha ou sucesso.

Os experimentos iniciais de Silva et al. [14] mostram que a abordagem baseada em testes de unidade pode ser eficaz: a heurística do SMAT identificou corretamente 4 conflitos em 15 casos, sem falsos positivos, mas ainda com um número significativo de falsos negativos. Em trabalhos posteriores [3], a análise foi ampliada para 85 cenários e quatro ferramentas de geração de testes, resultando na detecção de 9 conflitos entre 29, reforçando os achados anteriores, mas ainda com uma taxa de falsos negativos considerável.

Apesar dos avanços, ainda existem limitações, sobretudo relacionadas à cobertura dos testes automatizados, que podem não identificar determinadas interações sutis entre as versões Left e Right do código. Ferramentas tradicionais frequentemente não capturam essas nuances, tornando a integração de LLMs uma oportunidade de explorar novas estratégias de geração de testes e descobrir quais *prompts* e abordagens são mais eficazes para potencializar a detecção de conflitos semânticos.

O SMAT pode se beneficiar diretamente dos avanços recentes em LLMs. A incorporação do Code Llama 70B— um LLM especializado em código com suporte a diversas linguagens populares, incluindo Java [7], linguagem em foco na arquitetura do SMAT— ao SMAT permite avaliar, comparar e aprimorar métodos de geração de testes e detecção de conflitos. A escolha deste modelo para a integração com o SMAT foi, assim, fundamentada em três critérios principais: sua especialização em código, sendo treinado para tarefas de programação e compreensão de linguagens como Java; seu tamanho de 70 bilhões de parâmetros, que oferece um equilíbrio entre capacidade de raciocínio complexo e viabilidade computacional para execução local; e sua disponibilidade como modelo open-source, permitindo reprodutibilidade dos experimentos e controle total sobre o ambiente de execução, aspectos essenciais para pesquisa acadêmica.

#### 3 Metodologia

Para investigar se LLMs podem ser úteis para geração de testes de unidade com o objetivo de detectar conflitos semânticos, conduzimos uma série de experimentos utilizando duas amostras distintas, cada uma com motivações e características específicas. O primeiro dataset contém cenários reais de merge com conflitos semânticos, permitindo avaliar a capacidade do modelo em detectar esse tipo de problema. Já o segundo dataset não contém cenários de merge nem conflitos semânticos, e é composto por versões finais de projetos mais simples, sendo utilizado para avaliar a capacidade de geração e compilação de testes pelo modelo. Para viabilizar esses experimentos, desenvolvemos e integramos ao SMAT um novo módulo de geração de testes automatizados, cujo funcionamento é baseado no modelo Code Llama 70B. A seguir, o processo de integração do módulo ao SMAT é apresentado, bem como os datasets selecionados para o estudo e informações adicionais sobre os procedimentos adotados durante os experimentos.

#### 3.1 Integração do Módulo Code Llama 70B

Como mencionado na Seção 2, a arquitetura do SMAT é modular, permitindo a adição de novas ferramentas e funcionalidades conforme necessário. Neste contexto, desenvolvemos um módulo completo de geração de testes automatizados, que utiliza o modelo Code Llama 70B como parte central, mas incorpora diversas etapas adicionais de processamento, integração e validação. O novo módulo expande o *Test Generation* já existente, agregando um pipeline que realiza desde a extração e preparação das informações do código-fonte, passando pela construção e envio de prompts ao modelo, até o tratamento, validação e integração dos testes gerados ao fluxo do SMAT.

Visão Geral da Integração. A integração do Code Llama 70B ao SMAT é implementada através de um *pipeline* que utiliza informações do código em análise para gerar testes de unidade executáveis.

O fluxo inicia com extração de elementos relevantes do códigofonte, que são então formatados em *prompts* estruturados para serem enviados ao LLM. A resposta do modelo contendo o código dos testes passa por um processo de limpeza e validação antes de ser compilado e executado pelos demais componentes do SMAT.

Este processo é organizado em etapas sequenciais, conforme detalhado a seguir e ilustrado na Figura 1:

- (1) Além dos elementos citados na Seção 2.1, a entrada do SMAT foi alterada para receber, junto a cada elemento alterado simultaneamente por Left e Right na classe-alvo, um resumo das mudanças realizadas por cada parente. Essa mudança foi incluída para avaliar se essa descrição textual ajudaria ou não o LLM a gerar testes que detectam conflitos. Conforme ilustrado na Figura 1, o passo (1) mostra as informações de entrada que são inicialmente usadas para a geração dos prompts: as classes-alvo (Class Text) e os seus respectivos métodos-alvo, que são os elementos alterados por Left e Right os quais serão testados (cleanText()).
- (2) Como destacado no passo (2), para cada um dos métodosalvo informados na entrada, utilizamos a biblioteca de parsing Tree-sitter [16] para construir a AST (Abstract Syntax Tree) do código-fonte, o que permite estruturar o código de forma a coletar informações para a geração dos prompts. A partir dessa AST, extraímos atributos da classe, construtores e o corpo do método, além das declarações de import, que são anexadas aos testes no fim da iteração para garantir sua compilação.

Construção dos prompts. As informações extraídas são organizadas em diferentes formatos de prompts, compostos por mensagens dos tipos system, user e assistant, cada uma com uma função específica na interação com o modelo de linguagem. Segundo White et al. [17], os prompts podem ser estruturados por meio de prompt patterns, que funcionam como padrões reutilizáveis para resolver problemas recorrentes no uso de LLMs. A mensagem do tipo system corresponde ao padrão Persona, atribuindo ao modelo uma identidade ou papel específico, com o objetivo de orientar seu comportamento ao longo da conversa. Essa mensagem estabelece o contexto geral da interação e define diretrizes para o estilo e o conteúdo das respostas geradas. Abaixo está a mensagem do tipo system utilizada neste estudo:

#### SYSTEM

You are a senior Java developer with expertise in JUnit testing.

Your task is to provide JUnit tests for the given method in the class under test, considering the changes introduced in the left and right branches.

You have to answer with the test code only, inside code blocks (```).

The tests should start with @Test.

As mensagens do tipo user fornecem a entrada principal ao modelo, podendo ser relacionadas aos padrões *Recipe* e *Context Manager*. Nessas mensagens estão descritas informações do código, o método-alvo a ser testado e instruções para o modelo, delimitando

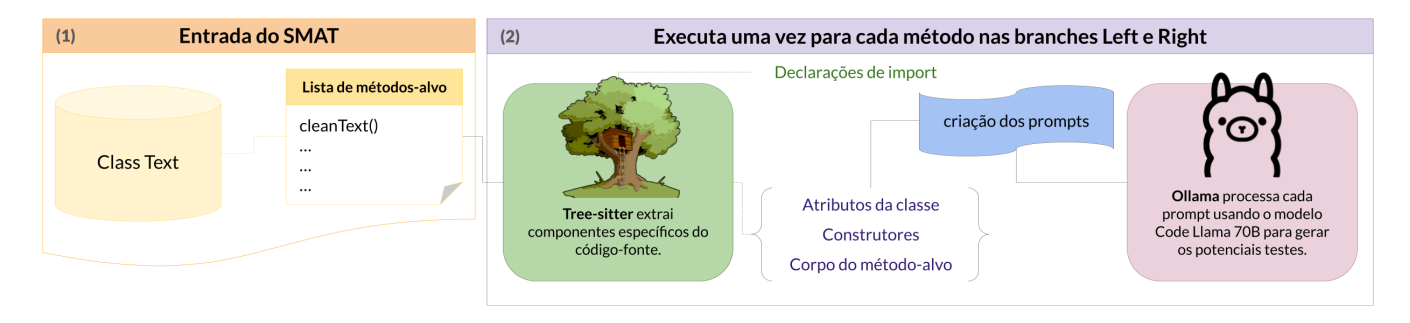


Figura 1: Arquitetura do módulo do Code Llama 70B integrado ao SMAT.

o escopo da tarefa e os requisitos desejados. A seguir, um exemplo de mensagem do tipo user que nosso módulo usa para gerar testes para o método cleanText da classe Text:

```
USER
Here is the context of the method under test in the class
Text on the left branch:
Class fields:
       public String text;
Constructors:
       public Text(String text) {
       this.text = text;
Target Method Under Test:
       public void cleanText() {
       Text inst = new Text(text);
       inst.normalizeWhiteSpace();
       inst.removeComments();
       this.text = inst.text;
Now generate JUnit tests for the method under test, consi-
dering the given context. Remember to create meaningful
assertions.
Write all tests inside code blocks (```), and start each test
with @Test.
```

Nessa mensagem, que compõe um *prompt* do tipo *zero-shot*, o contexto do método-alvo é fornecido, incluindo os atributos da classe, construtores e o corpo do método. Então, o modelo é instruído a gerar testes JUnit para esse método, considerando as informações fornecidas.

Já as mensagens do tipo assistant são utilizadas aqui apenas na configuração *1-shot*. Esse uso está alinhado ao padrão *Template*, cujo objetivo é fornecer um exemplo que sirva de modelo para a geração de saídas consistentes e adequadas à tarefa proposta.

Os *prompts* utilizados foram construídos a partir de conjuntos de mensagens com diferentes partes do contexto dos cenários: (i) resumo das mudanças introduzidas por Left e Right, (ii) atributos da classe, (iii) construtores e (iv) corpo do método-alvo. Para cada formato (*zero-shot* e *1-shot*), conforme está listado na Tabela 3, existem

8 variações de *prompt*, cada uma combinando diferentes subconjuntos dessas partes. Isso foi feito para explorar quais informações são mais relevantes para a geração de testes eficazes, trazendo mais variedade nas interações com o modelo e, assim, aumentando a diversidade dos testes gerados.

- Zero-shot: O prompt é composto por uma mensagem de sistema (system), seguida pelas mensagens do usuário (user) que fornecem o contexto do método-alvo a ser testado.
- 1-shot: Neste formato, o prompt primeiro apresenta um exemplo completo de interação antes da solicitação real. A estrutura contém: a mensagem de sistema (system), seguida por um par de mensagens de exemplo (uma do user com um método fictício e uma resposta correspondente do assistant com o teste gerado). Somente após esse exemplo, é apresentada a mensagem do user com o método-alvo real.

Todos os prompts usados nos experimentos estão disponíveis no apêndice online deste trabalho [1].

*Invocação do modelo.* Esses prompts são enviados, por meio da API REST do *Ollama* [8] — plataforma open-source para execução local de LLMs — ao modelo Code Llama 70B, que retorna múltiplas respostas (em quantidade configurável) para cada método testado.

Processamento da saída. A Figura 2 ilustra o processamento da saída do modelo Code Llama 70B, que ocorre após a invocação do modelo. Conforme mostrado no passo (3), as respostas do LLM são consideradas aqui como potenciais suítes de testes. Cada uma delas passa por uma etapa de limpeza utilizando expressões regulares, com o objetivo de remover trechos que não correspondem a código Java válido. Isso inclui linguagem natural, comentários irrelevantes, artefatos de formatação e caracteres que não pertencem ao léxico da linguagem, os quais poderiam comprometer a compilação e execução dos testes.

Após essa limpeza, utilizamos novamente o *Tree-sitter*, destacado no passo (4), para analisar a saída resultante e extrair os métodos de teste por meio da identificação de métodos anotados com a anotação @Test. Isso é um primeiro passo para garantir que os testes gerados sejam válidos, pois essa anotação é essencial para que o JUnit reconheça os métodos como testes a serem executados.

Então, cada teste é armazenado em um arquivo único, identificado por um nome que concatena a classe-alvo, a *branch*, o *prompt*, o índice do método e um número sequencial, como em



Figura 2: Processamento da saída do modelo Code Llama 70B.

TextTest\_left\_prompt1\_0\_0. java. O objetivo disso é maximizar o aproveitamento dos testes gerados: caso um ou mais testes apresentem problemas de compilação, os demais ainda poderão ser utilizados sem prejuízo ao processo de avaliação. Essa abordagem também facilita a organização dos experimentos e a análise posterior dos resultados, permitindo isolar falhas e identificar padrões nos erros gerados.

#### 3.2 Datasets Utilizados

A priori, utilizamos como base o *mergedataset*, conforme descrito por Da Silva et al. [3], que originalmente contém 85 cenários. Contudo, nosso conjunto de dados final foi reduzido para 79 cenários, pois 6 deles foram descartados por falta de arquivos no repositório (dois do projeto *libgdx*, três do *elasticsearch* e um do *ReactiveX*). Esse subconjunto do *mergedataset* é composto por 29 projetos Java de código aberto, abrangendo diversas áreas de software, e inclui 29 cenários com conflitos semânticos e 50 sem conflitos.

Para complementar a análise, foram selecionados dois projetos adicionais, considerados "toy", que são mais simples e foram extraídos do *dataset* utilizado no trabalho de Pan et al. [11]. Por se tratar de um trabalho com foco apenas na geração de testes, esses projetos não contêm cenários de *merge* e, portanto, não apresentam conflitos semânticos. Vamos nos referir a esses projetos como um segundo *dataset*, o *ASTER*:

- Eclipse Cargo Tracker: uma aplicação open-source de rastreamento de cargas, construída com Jakarta EE e estruturada com Base nos princípios de Domain-Driven Design. A aplicação simula fluxos comuns de sistemas corporativos, como monitoramento logístico, roteamento e controle de eventos [4].
- DayTrader 8: um benchmark de sistema de negociação de ações desenvolvido com Java EE 8. A aplicação implementa funcionalidades típicas de sistemas financeiros, como login de usuários, consulta de contas e execução de ordens de compra e venda. Por sua natureza compacta, é amplamente utilizada como referência para testes funcionais e de desempenho em servidores de aplicação Java EE [9].

Esses dois foram selecionados por simularem sistemas com comportamento próximo ao de aplicações reais, ainda que com menor complexidade estrutural e de código em comparação ao *mergedataset*. Essa escolha permite avaliar a capacidade do modelo em gerar testes de unidade tanto em contextos mais controlados e didáticos quanto em cenários extraídos de sistemas reais.

#### 3.3 Procedimentos Experimentais

Neste estudo, buscamos responder às seguintes questões de pesquisa:

- RQ1: Entre as configurações de prompt e parâmetros avaliadas, alguma delas permite ao modelo gerar testes mais eficazes para identificar conflitos semânticos?
- RQ2: O modelo Code Llama 70B é útil para a detecção automática de conflitos semânticos em cenários de merge?
- RQ3: Como a complexidade do código em análise impacta os resultados do LLM?

Para abordar essas questões, este estudo: (i) avalia a eficácia do modelo Code Llama 70B na detecção de conflitos semânticos em cenários reais de merge (RQ2); (ii) investiga o impacto de diferentes configurações de *prompt* e parâmetros na geração de testes capazes de identificar tais conflitos (RQ1); e (iii) analisa como a complexidade do código influencia os resultados obtidos (RQ3). As análises foram realizadas a partir dos relatórios gerados pelo SMAT, que incluem métricas como tempo de execução, quantidade de testes gerados, compilados e executados, além dos conflitos semânticos detectados. Adicionalmente, analisamos manualmente os testes gerados para verificar se os que apontaram conflitos semânticos realmente identificam conflitos existentes e se não se tratam de falsos positivos.

Conduzimos, então, um primeiro experimento focado na detecção de conflitos semânticos utilizando o mergedataset. Nessa etapa, executamos o pipeline experimental 8 vezes, variando parâmetros fundamentais do modelo: a temperatura, que controla a aleatoriedade das respostas, e a seed, um valor numérico que garante a reprodutibilidade dos resultados. Adotamos as temperaturas 0.0 e 0.7, e as seeds 42 e 123. Também testamos duas abordagens de prompt: zero-shot e 1-shot. Essa combinação de parâmetros foi escolhida para explorar diferentes aspectos do comportamento do modelo. A temperatura 0.0 foi configurada para obter respostas mais determinísticas e focadas, reduzindo a criatividade do modelo em favor da consistência. Por outro lado, a temperatura 0.7 (valor padrão) foi utilizada para estimular a geração de testes mais diversos e potencialmente capazes de explorar diferentes tipos de conflitos semânticos. Os formatos de prompt zero-shot e 1-shot foram testados para avaliar se o fornecimento de um exemplo auxilia o modelo na compreensão da tarefa e na geração de testes mais adequados em comparação com instruções sem exemplos. As seeds usadas foram escolhidas arbitrariamente, com o objetivo de garantir a reprodutibilidade dos experimentos e verificar a consistência dos resultados em diferentes execuções. Dessa forma, cada execução

implica em 8 *prompts* chamados para cada método-alvo, totalizando 632 chamadas do modelo para os 79 cenários do *dataset*.

Em uma segunda fase, conduzimos um experimento para avaliar a capacidade do Code Llama 70B de gerar e compilar testes automatizados em diferentes contextos, considerando a complexidade dos sistemas. Aqui, medimos o número de testes gerados e compilados com sucesso nos dois *datasets*, deixando de lado a detecção de conflitos semânticos, uma vez que o *ASTER dataset* não contém cenários de *merge*. Como configuração do experimento, fixamos a temperatura do modelo em 0.0 e o aplicamos cinco prompts distintos para cada método-alvo. Esses prompts foram divididos em duas abordagens, também usadas no experimento anterior: quatro variações *zero-shot*, as quais não contêm o resumo de mudanças por não ser relevante para o *ASTER dataset*, e um prompt *1-shot*, mantido para avaliar o impacto de um exemplo na geração de testes, mesmo em cenários sem conflitos semânticos.

Todos os experimentos foram conduzidos em uma máquina com arquitetura  $x86\_64$ , rodando Ubuntu como sistema operacional, equipada com 251 GB de memória RAM, um processador Intel<sup>®</sup> Xeon<sup>®</sup> Silver 4316 @ 2.30GHz com 40 núcleos físicos (80 threads), e duas GPUs NVIDIA A100 80GB PCIe.

#### 4 Resultados

Para responder às perguntas de pesquisa discutidas na seção anterior, realizamos os experimentos descritos anteriormente e apresentamos os resultados a seguir. A seção está estruturada em torno das perguntas de pesquisa, começando com uma análise quantitativa da geração de testes, seguida pela detecção de conflitos semânticos e comparação com outras ferramentas, e finalizando com uma análise do impacto do *dataset* e do tempo de execução.

#### 4.1 Análise Quantitativa da Geração de Testes

A Tabela 1 apresenta os resultados da geração de testes e detecção de conflitos utilizando o modelo Code Llama 70B, considerando as diferentes configurações de temperatura e de formato de *prompt*. Podemos observar que a temperatura 0.0 resultou em uma geração significativamente maior de testes, com uma média de 10404 testes na configuração *1-shot* (1S) e 8592 na configuração *zero-shot* (ZS). Em contraste, a temperatura 0.7 gerou uma quantidade consideravelmente menor de testes, com médias de 1383 e 2358 testes para as configurações 1S e ZS, respectivamente.

A taxa de compilação também foi superior com a temperatura 0.0, atingindo o pico de 12.04% na configuração 1S. Embora a configuração ZS tenha gerado um grande volume de testes, sua taxa de compilação foi menor (6.82%), indicando que a presença de um exemplo (1-shot) favorece a geração de código sintaticamente mais correto.

Com temperatura 0.7, as taxas de compilação foram de 8.97% (1S) e 5.13% (ZS). Notavelmente, todas as quatro configurações experimentais foram capazes de detectar conflitos semânticos, com cada uma identificando, pelo menos, o conflito previamente não detectado por outras ferramentas do SMAT.

## 4.2 RQ1: Alguma configuração permite gerar testes mais eficazes para identificar conflitos semânticos?

A Tabela 2 oferece uma visão detalhada da capacidade de detecção de conflitos, evidenciando a **complementaridade entre as configurações experimentais**. Nenhuma configuração isoladamente foi capaz de detectar todos os conflitos.

O conflito getAllEventTypes() foi o único identificado em todas as oito execuções experimentais, além de ser o único não previamente detectado por nenhuma das outras ferramentas integradas ao SMAT. Nesse cenário de *merge*, tanto a *branch* Left quanto a *branch* Right adicionaram elementos distintos à mesma lista, resultando em tamanhos finais diferentes para a coleção. Consequentemente, a *branch* Left produz uma lista com 23 elementos, enquanto a *branch* Right gera apenas 21 elementos.

O modelo Code Llama 70B conseguiu identificar essa inconsistência gerando testes que verificam o tamanho da lista retornada pelo método. A Listagem 2 apresenta um exemplo representativo dos testes gerados que conseguiram detectar este conflito. O teste assume a expectativa da *branch* Left (23 elementos) e, por essa razão, falha quando executado no contexto da *branch* Right, revelando assim o conflito semântico.

```
public void test00() {
    SlangImpl slang = new SlangImpl();
    Set<String> eventTypes = slang.
        getAllEventTypes();
    assertEquals(23, eventTypes.size());
}
```

Listagem 2: Exemplo de teste gerado pelo modelo Code Llama 70B para detectar o conflito getAllEventTypes().

Os dois conflitos relacionados ao projeto antlr4 foram observados apenas nas execuções *zero-shot* com temperatura 0.0. Já o conflito asProperties() ocorreu exclusivamente na configuração *1-shot* com temperatura 0.7 e *seed* 42, enquanto testProperties() foi detectado apenas com temperatura 0.7 e *seed* 123.

Observamos uma clara especialização:

- As execuções em zero-shot com temperatura 0.0 foram as únicas capazes de identificar os dois conflitos no projeto ant 1 r 4
- Por outro lado, os conflitos no projeto spring-boot foram detectados exclusivamente pelas execuções em 1-shot com temperatura 0.7.

Este resultado sugere que a variação na temperatura e na estratégia de *prompt* permite explorar diferentes tipos de falhas, indicando que uma abordagem combinando múltiplas configurações é mais eficaz para maximizar a detecção de conflitos.

A Tabela 3 explora como diferentes contextos de *prompt* influenciam a detecção. Todos os *prompts* foram capazes de identificar ao menos um conflito. Destacam-se os *prompts* prompt2 e prompt5, que detectaram dois conflitos semânticos cada. Ambos têm como contexto o resumo das mudanças (*Left and Right changes summary*); no entanto, esse fato não implica necessariamente uma relação causal entre o contexto do *prompt* e a quantidade de conflitos detectados.

Métrica	rica Temperatura 0		Temperatura 0.7		
	18	ZS	18	ZS	
Média de testes gerados	10404	8592	1383	2358	
Média de testes que compilaram	1253	586	124	121	
Média de testes gerados por método	131.70	108.76	17.50	29.85	
Média de testes que compilaram por método	15.86	7.42	1.57	1.53	
Taxa de compilação média	12.04%	6.82%	8.97%	5.13%	
Conflitos detectados	1*	3*	3*	1*	

Tabela 1: Resultados da geração de testes com o modelo Code Llama 70B, considerando diferentes configurações de temperatura e modo de execução (1S = 1-shot, ZS = zero-shot). Os valores são médias de duas execuções independentes (seeds 42 e 123). A métrica conflitos semânticos detectados inclui, em cada caso marcado com \*, exatamente um conflito que não havia sido previamente identificado por ferramentas do SMAT.

Conflito (Projeto::Classe::Elemento)	\$5.00 \$4.90	£50, 123,	\$. .9.	\$\$\(\tau_{5}\).	150, 29,	156, 423,	15/0/2	15/6,7/23
antlr4::Python2Target::python2Keywords	✓	✓	_	_	_	_	_	_
antlr4::Python3Target::python3Keywords	1	✓	_	_	_	_	_	_
<pre>cloud-slang::SlangImpl::getAllEventTypes()</pre>	1	✓	✓	✓	1	1	1	✓
<pre>spring-boot::AtomikosProperties::asProperties()</pre>	_	_	_	_	_	_	✓	_
<pre>spring-boot::AtomikosPropertiesTest::testProperties()</pre>	_	_	_	_	_	_	_	✓

Tabela 2: Conflitos semânticos detectados, considerando diferentes configurações de temperatura, seed e modo de execução (1S = 1-shot, ZS = zero-shot). O par entre parênteses representa a temperatura e a seed utilizados — por exemplo, ZS (0, 42) refere-se a uma execução zero-shot com temperatura 0.0 e seed 42. O símbolo √indica que o conflito foi detectado na configuração correspondente. Em negrito está destacado um conflito semântico que não havia sido previamente identificado por ferramentas do SMAT.

Prompt	Contexto	<b>Conflitos Detectados</b>
prompt1	Target method body	1*
prompt2	Left and Right changes summary, target method body	2*
prompt3	Class fields, target method body	1*
prompt4	Constructors, target method body	1*
prompt5	Left and Right changes summary, class fields, target method body	2
prompt6	Left and Right changes summary, constructors, target method body	1*
prompt7	Class fields, constructors, target method body	1
prompt8	Left and Right changes summary, class fields, constructors, target method body	1*

Tabela 3: Número de conflitos semânticos detectados a partir de diferentes contextos fornecidos nos *prompts*. Valores marcados com \* indicam que um dos conflitos detectados naquela configuração não havia sido previamente identificado por ferramentas do SMAT.

Essas informações nos levam a responder a primeira pergunta de pesquisa:

#### RQ1

Os resultados indicam que diferentes combinações de *prompt* e parâmetros do modelo levaram à detecção de conflitos distintos. Entre as configurações avaliadas, a versão *zero-shot* com temperatura 0.0 foi a que apresentou melhor desempenho individual, identificando até três conflitos em uma única execução.

Ferramenta de Geração de Testes	<b>Conflitos Detectados</b>		
Differential EvoSuite	6		
EvoSuite	5 [1]		
Code Llama 70B (união de todas as execuções)	5 (1*)		
Code Llama 70B (zero-shot, temperatura	3 (1*)		
0)			
Randoop	2		
Randoop Clean	2 [1]		

Tabela 4: Número de conflitos detectados por diferentes ferramentas de testes unitários. Asteriscos (\*) indicam conflitos detectados exclusivamente pela ferramenta associada, sem detecção por outras. Números entre colchetes (como [1]) representam falsos positivos reportados. Os dados das outras ferramentas foram extraídos do trabalho de Da Silva et al. [3].

# 4.3 RQ2: O modelo Code Llama 70B é útil para a detecção automática de conflitos semânticos em cenários de merge?

A Tabela 4 posiciona o Code Llama 70B em relação a outras ferramentas de geração de testes. A união de todas as execuções do Code Llama detectou um total de **5 conflitos**, um desempenho comparável ao da EvoSuite e superior ao da Randoop. O destaque principal é a detecção de um **conflito inédito** (\*), que não foi identificado por nenhuma outra ferramenta, nem mesmo pela Differential EvoSuite, que detectou o maior número de conflitos (6). Além disso, a melhor configuração individual (*zero-shot*, temperatura 0.0) foi capaz de encontrar 3 conflitos, superando ferramentas estabelecidas como a Randoop. É importante notar que, ao contrário de ferramentas como EvoSuite e Randoop Clean, não foram registrados falsos positivos nos resultados do Code Llama. Com isso, podemos responder à segunda pergunta de pesquisa:

#### RQ2

O modelo Code Llama 70B demonstrou ser uma ferramenta eficaz para a detecção automática de conflitos semânticos em cenários de *merge*, superando ferramentas tradicionais como Randoop e EvoSuite em termos de conflitos detectados. Além disso, foi capaz de identificar um conflito inédito não detectado por outras ferramentas do SMAT.

### 4.4 RQ3: Como a complexidade do código em análise impacta os resultados do LLM?

Para avaliar o impacto da complexidade do *dataset* nos resultados, comparamos a taxa de compilação dos testes gerados usando o *mergedataset* e o *ASTER dataset*, conforme mostrado no gráfico da Figura 3. Os *prompts* 1 a 5 selecionados contém as seguintes partes do contexto:

 prompt1: (1-shot) atributos da classe, construtores e corpo do método-alvo.

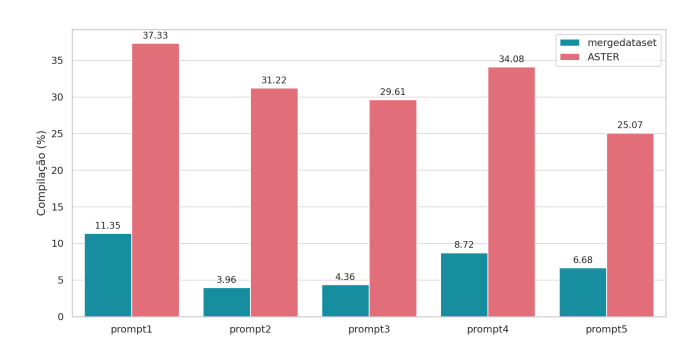


Figura 3: Comparação da taxa de compilação entre os datasets mergedataset e ASTER para diferentes prompts.

- prompt2: (zero-shot) corpo do método-alvo.
- prompt3: (zero-shot) atributos da classe e corpo do métodoalvo.
- prompt4: (zero-shot) construtores e corpo do método-alvo.
- prompt5: (zero-shot) atributos da classe, construtores e corpo do método-alvo.

Os resultados mostram um aumento drástico e consistente na taxa de compilação ao usar o *ASTER*: o ganho relativo variou de +228.9% a +688.9%. Esses dados ajudam a esclarecer a terceira pergunta de pesquisa:

#### RQ3

Observamos que a taxa de compilação foi maior no ASTER dataset em comparação com o mergedataset. Isso sugere que a complexidade do código do dataset influencia diretamente a capacidade do modelo de gerar testes compiláveis.

#### 4.5 Tempo de Execução

Abordagem	Tempo de Execução
EvoSuite	13h 9min
Code Llama 70B (um prompt isolado)	13h 9min
Code Llama 70B (uma execução com 8 prompts)	4d 9h 7min
Code Llama 70B (união de todas as execuções)	35d 2h 39min

Tabela 5: Comparação do tempo de execução entre EvoSuite e Code Llama 70B. A "execução com 8 prompts" refere-se a um ciclo experimental completo (por exemplo, *zero-shot* com temperatura 0.0), enquanto a "união de todas as execuções" representa o tempo acumulado de todos os ciclos realizados.

Considerando o caso em que cada abordagem leva 300 segundos para gerar testes para um único método (valor definido como timeout), a Tabela 5 compara o tempo total de execução entre o EvoSuite e o Code Llama 70B. Nesse cenário, o Evosuite levaria 13 horas e 9 minutos para gerar testes para todos os métodos do

mergedataset. Esse tempo é equivalente ao necessário para gerar testes com o Code Llama 70B utilizando um único prompt isolado.

No entanto, quando consideramos uma execução completa com 8 *prompts*, o tempo de execução do Code Llama 70B aumenta significativamente, alcançando 4 dias e 9 horas. A união de todas as oito execuções (variando formato do *prompt*, temperatura e *seed*) resulta em um tempo total de 35 dias e 2 horas, o que é consideravelmente mais longo do que o tempo necessário para o EvoSuite, atingindo o mesmo resultado em quantitativo de conflitos detectados.

#### 5 Ameaças à Validade

Este estudo apresenta limitações importantes que podem afetar a generalização dos resultados. O foco exclusivo no modelo Code Llama 70B introduz viés específico do modelo e possível contaminação dos dados de treinamento, já que alguns projetos do *mergedataset* podem ter sido utilizados durante o treinamento do modelo. Embora tenhamos explorado diferentes configurações de temperatura, formatos de *prompt* e *seeds*, o espaço de configurações testadas representa apenas uma fração das possibilidades disponíveis, incluindo outras técnicas de *prompt engineering* e múltiplas execuções independentes.

A condução dos experimentos em uma única configuração de hardware pode afetar a reprodutibilidade dos resultados em outros ambientes computacionais. Os datasets utilizados, embora incluam projetos Java reais, podem não ser representativos da diversidade completa de projetos existentes, especialmente considerando que se limitam a projetos de código aberto. O foco exclusivo em Java também limita a generalização para outras linguagens de programação com características sintáticas e semânticas distintas.

O tamanho amostral pequeno (apenas 5 conflitos semânticos detectados) limita a significância estatística das conclusões, sendo necessária uma amostra maior para análises mais robustas. As métricas de avaliação se concentram principalmente na taxa de compilação e detecção de conflitos, não abordando cobertura de código ou qualidade dos testes gerados. Além disso, a avaliação qualitativa dos testes foi limitada, não explorando aspectos como legibilidade e utilidade prática para desenvolvedores. Por fim, a natureza não-determinística dos LLMs pode introduzir variabilidade nos resultados que não foi completamente caracterizada, mesmo com o uso de *seeds* fixas.

#### 6 Trabalhos Relacionados

Esta seção apresenta uma análise detalhada dos trabalhos relacionados, organizados em ferramentas para detecção e resolução de conflitos semânticos em *merges*, e abordagens para geração automatizada de testes utilizando LLMs. Para cada categoria, discutimos as metodologias empregadas, os resultados obtidos e as principais diferenças em relação à nossa proposta.

Detecção e Resolução de Conflitos Semânticos. O problema de conflitos semânticos em merge tem sido abordado por diferentes perspectivas na literatura. O SafeMerge [15], utilizado como baseline no trabalho de Silva et al. [14], aplica verificação composicional para detectar conflitos semânticos em merges. No entanto, sua abordagem gera mais falsos positivos quando usamos os mesmos critérios adotados pelo SMAT para caracterizar conflitos. Especificamente, o SafeMerge apresenta uma taxa de 3.8% de imprecisão, enquanto

nossa abordagem baseada em LLMs alcançou uma taxa de 0% de falsos positivos, demonstrando maior precisão na detecção de conflitos semânticos. Para efeito de comparação, o próprio SMAT apresenta uma taxa de 3%, o que reforça a vantagem da nossa proposta nesse aspecto.

O trabalho de Zhang et al. [18] propõe a ferramenta *GMERGE*, que sugere soluções automáticas para conflitos de *merge*, incluindo tanto conflitos textuais quanto semânticos. Assim como nossa abordagem, *GMERGE* utiliza LLMs pré-treinados e explora estratégias de *k-shot* na criação de *prompts*. No entanto, há diferenças importantes: *GMERGE* foca em conflitos de um único projeto e sua avaliação está centrada na observação de mensagens do compilador, ou seja, a detecção de conflitos depende da ocorrência de erros de compilação. Em contraste, nosso trabalho não se baseia em conflitos que resultam de falhas de compilação, mas considera conflitos semânticos identificados por meio de testes quebrados. Além disso, enquanto *GMERGE* explora principalmente a viabilidade de reparar conflitos, enquanto nosso foco está na detecção.

A complementaridade entre *GMERGE* e nossa abordagem é particularmente interessante: enquanto *GMERGE* atua como uma ferramenta de reparo focada em conflitos que já se manifestaram através de erros de compilação, nossa proposta funciona como um "detector preventivo" que identifica conflitos semânticos. Esta diferença de escopo pode sugerir como trabalho futuro uma abordagem híbrida, onde nossa metodologia seria aplicada primeiro para detectar conflitos latentes, seguida por uma versão modificada do *GMERGE* para resolvê-los.

Geração de Testes com LLMs. No contexto da geração de testes com LLMs, destacamos três abordagens recentes: TESTPILOT [13], ASTER [11] e CITYWALK [19].

O TESTPILOT é voltado para JavaScript; seu pipeline inclui a extração de comentários de documentação para enriquecer o contexto fornecido ao modelo, enquanto nosso pipeline se baseia apenas em informações estruturais do código (atributos, construtores e corpo do método), sem recorrer a documentação textual. Paradoxalmente, esta limitação pode se tornar uma vantagem no contexto de detecção de conflitos semânticos, pois força o LLM a se basear exclusivamente na estrutura e semântica do código, reduzindo a possibilidade de ser "enganado" por documentação inconsistente. Além disso, o TESTPILOT prioriza a geração de testes que não falham, buscando maximizar a cobertura, enquanto nosso foco está na detecção de conflitos semânticos em cenários de merge.

O ASTER, por sua vez, é uma ferramenta para geração de testes em Java e Python, que explora diferentes contextos e técnicas de *mocking* para aumentar a cobertura dos testes gerados. Diferentemente da nossa abordagem, que executa a geração de testes em uma única etapa para cada cenário, o ASTER adota um processo iterativo, refinando os testes até atingir uma cobertura desejada. Além disso, o ASTER enfatiza a utilidade e compreensibilidade dos testes gerados, aspectos também considerados em nossa análise, mas com ênfase na capacidade de detecção de conflitos.

Já o *CITYWALK* propõe um *pipeline* para geração de testes em C++ que incorpora técnicas de *Retrieval-Augmented Generation* (RAG). Embora nossa abordagem não utilize RAG, reconhecemos o potencial dessa técnica para trabalhos futuros, especialmente porque o conhecimento contextual externo ao código-fonte da classe

pode ser crucial para detectar conflitos semânticos que podem emergir de interações complexas entre diferentes partes do sistema que não são óbvias a partir do contexto local. Um outro ponto de diferenciação do trabalho é o uso de diversos modelos em sua análise, enquanto nossa proposta se concentra exclusivamente no Code Llama 70B. É válido ressaltar que o módulo do Code Llama incorporado ao SMAT pode ser facilmente adaptado para usar outros modelos, caso necessário. Os resultados do *CITYWALK* mostram que a ferramenta gera menos erros de compilação e alcança maior cobertura com menos testes quando comparada a soluções que utilizam os modelos diretamente, reforçando o potencial dos LLMs na geração de testes, quando bem associados a outros processos.

#### 7 Conclusão

Este trabalho demonstrou que o modelo Code Llama 70B representa uma ferramenta promissora para a detecção de conflitos semânticos em código. Os resultados obtidos superam ferramentas automatizadas tradicionais, detectando cinco conflitos distintos dentre os 29 presentes no *dataset*, incluindo um conflito inédito sem introduzir falsos positivos.

Os experimentos revelaram três descobertas sobre o uso de LLMs para detecção de conflitos semânticos. Primeiro, nenhum prompt isolado foi capaz de identificar todos os conflitos observados. A combinação de diferentes execuções mostrou-se mais eficaz, evidenciando que diferentes configurações detectam diferentes tipos de conflitos. Entre as configurações testadas, os prompts zero-shot com temperatura 0.0 apresentaram melhor desempenho no mergedataset, identificando até três conflitos em uma única execução. Segundo, a temperatura do modelo influencia significativamente os resultados. Nas execuções com temperatura 0.7, os prompts 1-shot superaram os zero-shot, reforçando a importância de explorar diferentes estratégias de configuração para otimizar a detecção. E, em terceiro, não existe correlação evidente entre o número de testes compilados e a quantidade de conflitos identificados. A taxa de compilação mais baixa no mergedataset pode estar relacionada à complexidade dos cenários, conforme sugerido pelos experimentos no ASTER dataset.

Os resultados apresentam implicações diretas para o desenvolvimento de ferramentas baseadas em LLMs para detecção de conflitos semânticos. A necessidade de combinar múltiplas execuções sugere que trabalhos futuros devem focar em estratégias de combinação inteligente de diferentes configurações de *prompts* e parâmetros. A sensibilidade dos modelos às configurações de temperatura e tipo de *prompt* evidencia a importância de desenvolver métodos adaptativos que ajustem automaticamente esses parâmetros conforme o contexto do código analisado. O custo computacional significativo observado (63 vezes maior que o EvoSuite) aponta para a necessidade de pesquisas em otimização de eficiência, mantendo a eficácia na detecção. Trabalhos futuros devem investigar métodos para reduzir esse custo, como o uso de modelos menores e mais especializados.

**Como direções futuras**, pretendemos investigar métodos para melhorar a taxa de compilação dos testes gerados, desenvolver estratégias de ajuste de parâmetros e explorar a combinação adaptativa de *prompts*. Além disso, planejamos investigar o uso de técnicas de

RAG, agentes e outros modelos de linguagem para criar ferramentas mais eficientes e eficazes na detecção de conflitos semânticos.

#### Disponibilidade de Artefatos

Omitido por conta do processo de revisão anônimo.

#### Agradecimentos

Omitido por conta do processo de revisão anônimo.

#### Referências

- [1] Autores. 2025. Apêndice Online. URL. O URL para o apêndice será disponibilizado publicamente após a conclusão do processo de revisão por pares..
- [2] Yuriy Brun, Reid Holmes, Michael D. Ernst, and David Notkin. 2011. Crystal: precise and unobtrusive conflict warnings. In Proceedings of the 19th ACM SIGSOFT Symposium and the 13th European Conference on Foundations of Software Engineering (Szeged, Hungary) (ESEC/FSE '11). Association for Computing Machinery, New York, NY, USA, 444–447. doi:10.1145/2025113.2025187
- [3] Léuson Da Silva, Paulo Borba, Toni Maciel, Wardah Mahmood, Thorsten Berger, João Moisakis, Aldiberg Gomes, and Vinícius Leite. 2024. Detecting semantic conflicts with unit tests. *Journal of Systems and Software* 214 (2024), 112070. doi:10.1016/j.jss.2024.112070
- [4] Eclipse Foundation. 2020. Eclipse Cargo Tracker: Applied Domain-Driven Design Blueprints for Jakarta EE. https://github.com/eclipse-ee4j/cargotracker Acessado em: 13 jun. 2025.
- [5] Gordon Fraser and Andrea Arcuri. 2011. Evosuite: automatic test suite generation for object-oriented software. In Proceedings of the 19th ACM SIGSOFT symposium and the 13th European conference on Foundations of software engineering. 416–419.
- [6] Chandra Maddila, Nachiappan Nagappan, Christian Bird, Georgios Gousios, and Arie van Deursen. 2021. ConE: A Concurrent Edit Detection Tool for Large-scale Software Development. ACM Trans. Softw. Eng. Methodol. 31, 2, Article 22 (Dec. 2021), 26 pages. doi:10.1145/3478019
- [7] Meta AI. 2023. Introducing Code Llama, a State-of-the-Art Large Language Model for Coding. https://ai.meta.com/blog/code-llama-large-language-model-coding/ Accessed: 2025-05-10.
- [8] Ollama. 2023. Ollama Run large language models locally. https://ollama.com/ Acesso em: 12 jun. 2025.
- [9] OpenLiberty. 2018. DayTrader8 Sample. https://github.com/OpenLiberty/sample. daytrader8 Acessado em: 13 jun. 2025.
- [10] Carlos Pacheco and Michael D Ernst. 2007. Randoop: feedback-directed random testing for Java. In Companion to the 22nd ACM SIGPLAN conference on Objectoriented programming systems and applications companion. 815–816.
- [11] Rangeet Pan, Myeongsoo Kim, Rahul Krishna, Raju Pavuluri, and Saurabh Sinha. 2025. ASTER: Natural and Multi-language Unit Test Generation with LLMs. arXiv:2409.03093 [cs.SE] https://arxiv.org/abs/2409.03093
- [12] Anita Sarma, David F. Redmiles, and André van der Hoek. 2012. Palantir: Early Detection of Development Conflicts Arising from Parallel Code Changes. IEEE Transactions on Software Engineering 38, 4 (2012), 889–908. doi:10.1109/TSE.2011.
- [13] Max Schäfer, Sarah Nadi, Aryaz Eghbali, and Frank Tip. 2024. An Empirical Evaluation of Using Large Language Models for Automated Unit Test Generation. IEEE Transactions on Software Engineering 50, 1 (2024), 85–105. doi:10.1109/TSE. 2023.3334955
- [14] Leuson Da Silva, Paulo Borba, Wardah Mahmood, Thorsten Berger, and João Moisakis. 2020. Detecting Semantic Conflicts via Automated Behavior Change Detection. In 2020 IEEE International Conference on Software Maintenance and Evolution (ICSME). 174–184. doi:10.1109/ICSME46990.2020.00026
- [15] Marcelo Sousa, Isil Dillig, and Shuvendu K. Lahiri. 2018. Verified three-way program merge. Proc. ACM Program. Lang. 2, OOPSLA, Article 165 (Oct. 2018), 29 pages. doi:10.1145/3276535
- [16] Tree-sitter. 2024. Tree-sitter A parser generator tool and incremental parsing library. https://tree-sitter.github.io/tree-sitter/ Acesso em: 12 jun. 2025.
- [17] Jules White, Quchen Fu, Sam Hays, Michael Sandborn, Carlos Olea, Henry Gilbert, Ashraf Elnashar, Jesse Spencer-Smith, and Douglas C. Schmidt. 2023. A Prompt Pattern Catalog to Enhance Prompt Engineering with ChatGPT. arXiv:2302.11382 [cs.SE] https://arxiv.org/abs/2302.11382
- [18] Jialu Zhang, Mike Kaufman, Todd Mytkowicz, Ruzica Piskac, and Shuvendu Lahiri. 2022. Using Pre-trained Language Models to Resolve Textual and Semantic Merge Conflicts (Experience Paper). In ISSTA 2022: Proceedings of the 31st ACM SIGSOFT International Symposium on Software Testing and Analysis. ACM. https://www.microsoft.com/en-us/research/publication/using-pretrained-language-models-to-resolve-textual-and-semantic-merge-conflictsexperience-paper/

Leveraging LLMs for Semantic Conflict Detection via Unit Test Generation

[19] Yuwei Zhang, Qingyuan Lu, Kai Liu, Wensheng Dou, Jiaxin Zhu, Li Qian, Chunxi Zhang, Zheng Lin, and Jun Wei. 2025. CITYWALK: Enhancing LLM-Based C++ Unit Test Generation via Project-Dependency Awareness and Language-Specific Knowledge. arXiv:2501.16155 [cs.SE] https://arxiv.org/abs/2501.16155